

O<sub>3</sub> -

$O_3^-$

P. Smith

1956

J. Phys. Chem. 60, 1471-2

Opposite

Суперфикас  $O_3^-$

Рассмотрение  $SO_2^+$ ,  $SO_2^-$  и  $SO_2^{--}$

относительно  
к межмолекулярному  
измерению

$SO_2^{--}$  симметрический

CA SI  $\angle O S O = 108^\circ$  и  $\Sigma r_O = 1,30 \text{ Å}$

и температурные соотношения

Wump beweisen gegen  $\text{g}(\text{e}) \text{O}_3^-$ :

$$\angle \text{O}-\text{O}-\text{O} = 110^\circ \pm 5^\circ$$

$$r = 1,34 \pm 0.5 \text{ \AA}$$

I-282

1961

$O_3^-$  ( $O_2O^-$ ,  $O_2^-$ ,  $\underline{O_3^-}$ )

Curran D.K.

J. Chem. Phys., 1961, 35, N 5, 1849-1851  
(AHRN.)

Negative ion formation in ozone.

PK, 1912, 21622

XI-4347

A<sub>g</sub> I. (He<sup>-</sup>, Ne<sup>7+</sup>, Ne<sup>8+</sup>, Na<sup>9+</sup>,

1963

Ar<sup>8+</sup>, Ne<sup>-</sup>, F<sup>2-</sup>, P<sup>3-</sup>, O<sup>3-</sup>, H<sup>2-</sup>)

Crossley R.J.S., Coulson C.A.

Proc. Phys. Soc., 1963, 81, N 2,  
211-218 (Англ.)

Glockler's equation for ionization

Есть оригинал.

РФ а, 1964, 5D11

10.12.и

$O_3^-$

структура

Herman K.,  
Giguere P.A.

1965

XI - 1790

Can. J. Chem.

43, N6, 1746

ИК - спектроскопия  
аммония и структура  
окиси - иона.



$(\text{ад. } NH_4 O_3) \underline{\underline{III}}$

O<sub>3</sub>

Wood R. H.,

1965

D'Orazio & F.

f.e.

"J. Phys. Chem.",

1965, 69, n8,

2562 - 2563

(Cer.  $\tilde{O}_3$ ) $\bar{I}$

O<sub>3</sub><sup>-</sup>

Raudhawa H.S. 1971  
at all

rearr.  
CIP - pa

Curr. Sci. (India) 1944,  
40, 188, 187-189



$O_3^-$

1972

(Vi)

)<sup>-</sup> 170830c Raman spectra of  $O_2^-$  and  $O_3^-$  ions in alkali metal superoxides and ozonides. Bates, J. B.; Brooker, M. H.; Boyd, G. E. (Oak Ridge Natl. Lab., Oak Ridge, Tenn.). *Chem. Phys. Lett.* 1972, 16(2), 391-5 (Eng). The Raman spectra of polycryst.  $NaO_2$ ,  $KO_2$ ,  $RbO_2$ ,  $CsO_2$ ,  $KO_3$ , and  $CsO_3$  were measured at 75-300°K. Solid-solid phase transition effects were noted in spectra of the Na, K, and Rb, superoxides, but none was detected with  $CsO_2$ . External mode frequencies were obsd. in the 211-200, 146-122, and 89-62  $cm^{-1}$  regions in the low temp. spectra of  $KO_2$  and  $RbO_2$ . The spectra of  $KO_3$  and  $CsO_3$  exhibited a single band at  $\sim 1010.cm^{-1}$  which was assigned to the sym. stretching mode of the  $O_3^-$  ion.

C.A. 1972, 77, N26.

$O_3^-$ ;  $O_3$  (kb. Mex. paciēm) ~~X-3478~~ 1972

Heaton M.M., Pipano A., Kaufman Y.J.;  
Int. J. Quantum Chem. Symp., 1972,  
N6, 181-6 (sum.) <sup>X-3314</sup>

Configuration interaction  
calculations on ozone and  $O_3^-$ .

10



~~full publication~~ CA, 1973, 78, N10, 625364

XI-3103

1972

$O_3^-$

(Vi, check)

94871z Vibrational and electronic spectra of the  $O_3^-$  anion isolated in an argon matrix. Jacox, Marilyn E.; Milligan, Dolphus E. (Natl. Bur. Stand., Washington, D.C.). *J. Mol. Spectrosc.* 1972, 43(1), 148-67 (Eng). The  $O_3^-$  anion was stabilized in an Ar matrix at 14°K in concn. sufficient for the detection of the antisymmetric stretching fundamental,  $\nu_3$ , and of a band system between 5100 and 3700 Å. Both the reaction of  $O^-$  (produced by the interaction of photoelectrons with  $N_2O$ ) with  $O_2$  and the charge-transfer interaction between  $O_3$  and K atoms have served as sources of  $O_3^-$  in these studies. Although the  $\nu_3$  absorption is slightly dependent upon the alkali metal used as the photoelectron source, the expts. suggest that the  $\nu_3$  absorption of  $O_3^-$  isolated in an Ar lattice should lie very close to  $800\text{ cm}^{-1}$ . Detailed isotopic studies support the proposed vibrational assignment and demonstrate that the valence angle of ground-state  $O_3^-$  is  $110^\circ \pm 5^\circ$  and that the O-O bonds are considerably weaker than those of  $O_3$ . The nature of the obsd. electronic transition of  $O_3^-$  is discussed, and evidence is considered for the presence of a low-lying dissociative state.

C.A. 1972. 77. 14

XI - 3103 1972.

O<sub>3</sub><sup>-</sup>

7 Б236. Колебательный и электронный спектры аниона O<sub>3</sub><sup>-</sup>, изолированного в аргоновой матрице. Jacob Magilay E., Milligan Dolphus E. Vibrational and electronic spectra of the O<sub>3</sub><sup>-</sup> anion isolated in an argon matrix. «J. Mol. Spectrosc.», 1972, 43, № 1, 148—167 (англ.)

(зап.) Измерены спектры УФ- и ИК-поглощения аниона O<sub>3</sub><sup>-</sup>, стабилизированного в матрице Ar. Образование аниона O<sub>3</sub><sup>-</sup> происходило при р-ции ионов O<sup>-</sup> с O<sub>2</sub> или при взаимодействии с переносом заряда между O<sub>3</sub> и атомами K. В УФ-спектре обнаружена система полос поглощения в области 5100—3700 Å, к-рая отнесена к поглощению аниона O<sub>3</sub><sup>-</sup>. В спектре ИК-поглощения в области 800 см<sup>-1</sup> обнаружена полоса ν<sub>3</sub>. Достоверность этого отнесения подтверждена анализом ее изотопич. сдвига с O<sup>18</sup>. Показано, что валентный угол в O<sub>3</sub><sup>-</sup> равен 110±5°.

Г. Кузьинц

X. 1973. N 7

$O_3^-$

XI - 3103

1972.

ЗД459. Колебательные и электронные спектры аниона  $O_3^-$ , изолированного в матрице из Ar. Я соx Marilyн E., Milligan Dolphus E. Vibrational and electronic spectra of the  $O_3^-$  anion isolated in an argon matrix. «J. Mol. Spectrosc.», 1972, 43, № 1, 148—167 (англ.)

По полосе антисимметричных валентных колебаний  $\nu_3$  в ИК-спектре ( $400—2400\text{ см}^{-1}$ ) и системе полос  $3700—5100\text{ \AA}$  в электронном спектре поглощения ( $1800—9750\text{ \AA}$ ) доказано образование аниона  $O_3^-$  в матрице из Ar при  $14^\circ\text{ K}$ . Для получения стабилизированных анионов использованы реакция  $O_2$  с  $O^-$ , возникающими при взаимодействии фотоэлектронов с  $N_2O$ , и реакция с переносом заряда между атомами K и  $O_3$ . Обсуждена природа

( $\nu_i$ )

φ. 1973. N 3.

изученного электронного перехода и предположено существование низколежащего диссоциативного состояния. Интервал между полосами электронной системы (около  $820 \text{ см}^{-1}$ ) соответствует колебательной частоте  $v_1'$ . Частота полосы  $v_3$  составляет  $789,3-815,0 \text{ см}^{-1}$ , несколько изменяясь в зависимости от щелочного металла, используемого как источник фотоэлектронов. Сделан вывод, что валентный угол у  $\text{O}_3^-$  в основном состоянии равен  $110 \pm 5^\circ$ , а связи  $\text{O}-\text{O}$  значительно менее прочны, нежели у молекулы  $\text{O}_3$ . Библ. 47.

С. Ф. Б.

$O_3^-$

XI-3154

1972

$O_4^-$

(Vi)

(Configur.)

68098h Spectrum and structure of the  $O_3^-$  and  $O_4^-$  anions isolated in an argon matrix. Jacox, M. E.; Milligan, D. E. (Natl. Bur. Stand., Washington, D.C.). *Chem. Phys. Lett.* 1972, 14(4), 518-21 (Eng). An absorption which appears near  $800\text{ cm}^{-1}$  on reaction of  $O^-$  with  $O_2$  in an Ar matrix has been assigned as  $\nu_3$  of  $O_3^-$ , with a valence angle of  $110 \pm 5^\circ$ , and an absorption near  $1000\text{ cm}^{-1}$  can be assigned to *trans*- $O_4^-$ .

C.4. 1972. FF. 10

Х1-3261

1972

O<sub>3</sub><sup>-</sup>

2 Б216. Колебательные спектры озонида калия и строение аниона O<sub>3</sub><sup>-</sup>. Карелин А. И., Росоловский В. Я., Токарева С. А., Вольнов И. И. «Докл. АН СССР», 1972, 206, № 3, 641—644

Исследованы ИК-спектры поглощения (400—4000 см<sup>-1</sup>) и спектры КР (200—1800 см<sup>-1</sup>) озонида калия при комн. т-ре и при т-ре жидк. азота. Проведено отнесение основных частот озонид-иона:  $\nu_1 = 1020 \text{ см}^{-1}$ ,  $\nu_2 = 621 \text{ см}^{-1}$ ,  $\nu_3 = 818 \text{ см}^{-1}$ . На основе эксперим. результатов, полученных в работе, и лит. данных для родственных соединений оценены структурные параметры озонид-иона ( $r_{O-O} = 1,34 \text{ \AA}$ ,  $\angle OOO = 110^\circ$ ). Колебательные спектры O<sub>3</sub><sup>-</sup> приблизенно удовлетворяют правилам отбора для линейной молекулы, подобно спектрам целинейных молекул NF<sub>2</sub>, O<sub>3</sub>, OF<sub>2</sub>. Показано, что частоты озонид-иона удовлетворительно коррелируют с частотами молекул O<sub>3</sub> и OF<sub>2</sub>. Частоты валентных колебаний, валентная силовая константа и длина связи O—O изменяются в последовательности O<sub>3</sub><sup>-</sup>, O<sub>3</sub> и O<sub>2</sub><sup>2-</sup>, O<sub>2</sub><sup>-</sup>, O<sub>2</sub>, O<sub>2</sub><sup>+</sup> сходным образом.

Автодефедат

(Vi, час)

Х. 1973. № 2.

O<sub>3</sub><sup>-</sup>

XI-3261

1972

(V<sub>i</sub>)

9648k Potassium ozonide vibrational spectra and structure of O<sub>3</sub><sup>-</sup> ion. Karelin, A. I.; Rosolovskii, V. Ya.; Tokareva, S. A.; Vol'nov, I. I. (Inst. Obshch. Neorg. Khim. im. Kurnakova, Moscow, USSR). *Dokl. Akad. Nauk SSSR* 1972, 206(3), 641-4 [Phys Chem] (Russ). Their (400-4000 cm<sup>-1</sup>) and Raman (200-1800 cm<sup>-1</sup>) spectra of polycryst. KO<sub>3</sub> were measured at 77°K and at room temp. The band at 818 and 1020 cm<sup>-1</sup> were assigned, resp. to the antisym. and sym. stretching vibrations of the O-O bonds in O<sub>3</sub><sup>-</sup>. The vibrational spectra are correlated with the structure of O<sub>3</sub><sup>-</sup> and compared with the spectra of OF<sub>2</sub> and O<sub>3</sub>.  
V. Bekarek

C.A. 1973, 78, N2

$NF_3, O_3^+, O_3, O_3^-, CF_3$  (reac. схема; ) 1972  
пакетом

McCain D.C., Palke W.E. XI 2984

J. Chem. Phys., 1972, 56, N10, 4957-  
-4965 (арен.)

Calculation of hyperfine coupling constants in inorganic radicals.

PGP72

Бюлл. 1972, 21524

8 № 649

6 № 49

ВФ - 8160 - X

1973

2 Д425. Спектр резонансного комбинационного рассеяния и анализ колебаний иона озонида в соединениях

Me<sup>+</sup>O<sub>3</sub><sup>-</sup>, изолированных в матрице твердого Ar. Andrews Lester, Spiker Robert C., Jr. Resonance Raman spectrum and vibrational analysis of the ozonide ion in the argon matrix-isolated M<sup>+</sup>O<sub>3</sub><sup>-</sup> species. «J. Chem. Phys.», 1973, 59, № 4, 1863—1871 (англ.)

При  $T=16^{\circ}\text{K}$  исследованы спектры комб. рас. молекул MeO<sub>3</sub> (Me=Li, Na, K, Rb, Cs), изолированных в матрице твердого Ar. Полученные образцы имели интенсивную оранжевую окраску, обусловленную полосами электронного поглощения молекул MeO<sub>3</sub> в синей и зеленой областях спектра. Для возбуждения комб. рас. использованы

4.1974 N 2

ыс

(+)



линии 6471, 5682, 5309, 5145, 4965, 4880, 4765 и 4579 Å Кг<sup>+</sup>- и Аг<sup>+</sup>-лазеров. В этих условиях комб. рас. носило резонансный характер. Во всех исследованных системах наблюдалась группа линий комб. рас. в области  $1010 \text{ см}^{-1}$ , интерпретированная как тонкая структура колебания  $\nu_1$  в ионах  $\text{O}_3^-$ . Расщепление линии  $\nu_1$  обусловлено смешанным изотопным составом кислорода. Частота колебаний  $\nu_1$  мало зависит от природы щелочного металла. Наблюдались также обертоны колебания  $\nu_1$ , вплоть до  $4\nu_1$ . Распределение относит. интенсивностей в серии обертонов зависит от положения возбуждающей частоты относительно полос электронного поглощения. Известные ранее значения частот  $\nu_2$  и  $\nu_3$  ионов  $\text{O}_3^-$ , а также измеренное значение частоты  $\nu_1$ , величины изотопного сдвига при замещении  $^{16}\text{O}$  на  $^{18}\text{O}$  и константа ангармонизма для колебаний  $\nu_1$  позволили вычислить силовую постоянную связи О—О 4,18 мдин/Å, ее длину 1,38 Å, а также энергию ионизации ионов  $\text{O}_3^-$  153 ккал/моль. Библ. 30. С. П.

$O_3^-$

XI-3637

1973

1 Б237. Резонансный спектр комбинационного рас-  
сения изолированного в матрице иона озонида в моле-  
куле  $M^+O_3^-$ . Andrews Lester. Resonance Raman  
spectrum of the matrix isolated ozonide ion in the species  
 $M^+O_3^-$ . «J. Amer. Chem. Soc.», 1973, 95, № 14, 4487—4488  
(англ.)

Измерены спектры КР продуктов соконденсации  $O_3^-$  и  
атомных щел. металлов Li, Na, K, Rb и Cs, изолирован-  
ных в матрице Ag при  $Ag/O_3 = 100$ . В спектрах обна-  
ружены интенсивные линии в области основных коле-

баний  $1011—1018 \text{ см}^{-1}$ : Li — 1012, Na — 1011; K — 1004,  
Rb — 1026 и Cs — 1018. В работе использован изотонич.  
 $^{18}O_3$ . Соотв. данные подтверждают отнесение этих ли-  
ний к колебаниям  $v_1$  иона  $O_3^-$ . В спектрах также най-  
дена прогрессия обертонов  $v_1$ , что, вероятно, обуслов-  
лено эффектом резонансного КР.

Г. Кузьянц

X. 1974 n 1

1973

 $O_3^-$ 

X1-3637

59621n Resonance Raman spectrum of the matrix isolated ozonide ion in the species metal(+) ozonide(-). Andrews, Lester (Dep. Chem., Univ. Virginia, Charlottesville, Va.). *J. Amer. Chem. Soc.* 1973, 95(14), 4487-8 (Eng). The products of matrix reactions of  $O_3$  and alkali metal atoms on a 16°K Cu wedge were studied by using Ar and Kr plasma excitation. The Raman spectra are characterized by a fundamental at 1011-1018  $\text{cm}^{-1}$  below the exciting lines depending upon the alkali reagent and a regular progression of overtones using blue green excitation. Substitution of  $^{18}\text{O}_3$  confirmed the assignment of these bands to  $\nu_1$  of  $O_3^-$ . The fundamental and regular overtone progressions in  $\nu_1$  of  $O_3^-$  are probably due to the resonance Raman effect.

C.A. 1974.79 N10

XI-3637

1973

O<sub>3</sub><sup>-</sup>

12 Д555. Резонансные спектры комбинационного рассеяния иона озонида в молекулах M<sup>+</sup>O<sub>3</sub><sup>-</sup> изолированных в матрице. Andrews Lester. Resonance Raman spectrum of the matrix isolated ozonide ion in the species M<sup>+</sup>O<sub>3</sub><sup>-</sup>. «J. Amer. Chem. Soc.», 1973, 95, № 14, 4487—4488 (англ.)

Получены спектры комб. рас. с лазерным возбуждением продуктов реакции, происходящей при одновременном осаждении атомов щелочного металла и смеси O<sub>3</sub>:

Ag на подложку при т-ре 16° К. Обнаруженные линии рассеяния в области 1004—1026 см<sup>-1</sup> относятся к колебанию ν<sub>1</sub> иона O<sub>3</sub><sup>-</sup>, входящего в состав молекул M<sup>+</sup>O<sub>3</sub><sup>-</sup> (M=Li, Na, K, Rb, Cs). Для отдельных молекул зарегистрировано до трех обертонов. Аномальная интенсивность спектров объясняется резонансным характером рассеяния, т. к. возбуждающие линии (4579, 4880 и 5145 Å) попадают в область поглощения O<sub>3</sub><sup>-</sup> (5100—3700 Å). Библ. 14.

Ю. М. Л.

(41) 18  
Емель

Ф. 1973. № 12

$\text{CH}_3$ ;  $\text{C}_2\text{H}_3$ ;  $\text{CN}$ ;  $\text{HCN}^-$ ;  $\text{H}_2\text{CN}$ ; XIII 2247/1973  
 $\text{HCO}$ ;  $\text{CH}_3\text{CO}$ ;  $\text{CO}_2^-$ ;  $\text{NH}_2$ ;  $\text{NH}_3$ ;  $\text{NH}_3^+$ ;  $\text{H}_2\text{NO}$ ;  
 $\text{NO}_2$ ;  $\text{HBO}$ ;  $\text{BH}_3$ ;  $\text{O}_3^-$  (K.B. ~~met.~~  
parent)

Chuvylkin N.D., Zhidomirov G.N.,  
Mol. Phys., 1973, 25, N5, 1233-5 (ams)

10/g.

O<sub>3</sub>

XI-4406

1973

18055v Vibrational spectra and structure of ozonide (O<sub>3</sub><sup>-</sup>) ion. Karel'lin, A. I.; Rosolovskii, V. Ya.; Tokareva, S. A.; Vol'nov, I. I. (Inst. Obshch. Neorg. Khim. im. Kurnakova, Moscow, USSR). *Tekisy Dokl. Vses. Soveshch. Khim. Neorg. Perekisnykh Soedin.* 1973, 108-9 (Russ). Edited by Vol'nov, I. I.; Blum, A. Ya. Rizh. Politekh. Inst.: Riga, USSR. The ir absorption spectra (400-4000 cm<sup>-1</sup>) and Raman spectra (200-1800 cm<sup>-1</sup>) of KO<sub>3</sub> were recorded. The following values for the structure parameters were established *r*<sub>O-O</sub> = 1.34 Å, O-O-O bond angle = 100°. The vibrational spectra of O<sub>3</sub><sup>-</sup> were very similar to those of other linear mols. as NF<sub>2</sub>, O<sub>3</sub>, and OF<sub>2</sub>.

W. S. Brud

C.A.1975.83 N2

1973

 $O_3^-$ 

XI-3838

 $O_3$  $Ae^-$ 

70321k Negative ion reactions with neutral ozone. Rutherford, J. A.; Turner, B. R.; Vroom, D. A. (Gulf Radiat. Technol. Div., Gulf Energy and Environ. Syst., San Diego, Calif.). *J. Chem. Phys.* 1973, 58(12), 5267-71 (Eng). Charge transfer reactions between  $O^-$ ,  $O_2^-$ ,  $OH^-$ , and  $NO_2^-$  and  $O_3$  were studied to obtain cross sections for formation of  $O_3^-$ . The charge transfer reaction  $O_2^-$  on  $NO_2$  was also remeasured. The range of ion energies considered was 1-500 eV. Upper limits were obtained for the charge transfer cross section of  $F^-$ ,  $Cl^-$ , and  $CO_3^-$ , with  $O_3$ . The electron affinity of  $O_3$  must be close to the accepted value of  $\sim 2$  eV. The method used to produce a neutral beam of pure  $O_3$  is discussed.

C.A.  
197379 N12

+1



03-  
1973  
350  
X/1  
+5  
41  
X

24 Б27. Исследование озонид-иона и родственных соединений методом МО ППДП. Sichel John M. CNDD-MO study of the ozonide ion and related species. «Can. J. Chem.», 1973, 51, № 13, 2124—2128 (англ.; рез. франц.)

Методом ССП МО ЛКАО в валентном приближении ППДП исследовано электронное и геометрическое строение озонид-иона  $O_3^-$  и ряда родственных соединений ( $O_3$ ,  $SO_2$ ,  $SO_2^-$ ,  $OF_2^+$ ,  $OF_2$ ). Расчеты выполнены как с параметризацией Попла—Сегала (ППДП/2), так и с параметризацией Бойда—Уайтхеда (ППДП/БУ). В случае открытых оболочек использована процедура неограниченного однодетерминантного метода ССП. Во всех расчетах выполнена оптимизация длины связей и валентного угла (в предположении симметрии  $C_{2v}$ ) с помощью процедуры зитерац. кубич. интерполяции. Найдено, что набор занятых МО во всех случаях согласуется с правилами Уолша, хотя точный порядок орбитальных энергий зависит от метода расчета и (в случае открытых оболочек) от значения проекции спина. Так для  $O_3^-$  и для  $SO_2^-$  найдено, что основной является конфигурация симметрии  $^2B_1$  в согласии с эксперим. данными ЭПР. Оба варианта расчета предсказывают, что равновесная длина связи ( $r_e$ )  $O-O$  в  $O_3^-$  больше, чем в  $O_3$ . Метод

34. И  
исслед-  
ственни

2. 1973

N 24

ППДП/БУ дает значение  $r_c$  в  $O_3$  (1,258 Å) близкое к экспериментальному (1,278), из чего сделан вывод, что и в случае  $O_3^-$  рассчитанная величина является достоверной. Метод ППДП/2 дает заниженное значение для  $O_3$  (1,167) и высказано предположение, что величина, найденная для  $O_3^-$  методом ППДП/2 (1,201), занижена, несмотря на хорошее согласие с эксперим. значением 1,19, полученным из данных рентгеновской дифракции на  $KO_3$  в порошке. Поскольку оба метода предсказывают удлинение  $r_c$  в  $O_3^-$  по сравнению с  $O_3$  на 0,04 Å, сделан вывод, что правильное значение  $r_c(O_3^-) = 1,32 \text{ Å}$ . Анализ распределений электронной плотности также свидетельствует о том, что нет причин ожидать повышения связывания в  $O_3^-$ , причем изменение порядка  $\pi$ -связи между связанными атомами O от 0,702 в  $O_3$  до 0,353 в  $O_3^-$  согласуется с данными ИК-спектров в матрицах. Аналогичные результаты имеют место для пар родственных молекул  $SO_2^- - SO_2$  и  $OF_2^+ - OF_2$ . Обсуждены результаты расчета валентных углов. Для всех молекул рассмотрены также несимм. структуры с разными длинами связей  $r_1$  и  $r_2$  и найдено, что во всех случаях минимум отвечает симм. геометрии  $C_{2v}$ , за исключением  $SO_2$ , для к-рой имеется двойной минимум при  $(r_1 - r_2) = 0,03 \text{ Å}$  с небольшим потенциальным барьером для симм. геометрии (0,03 эв). Отмечено, что с учетом приближенного характера расчета этот результат нельзя считать достоверным, и данные ИК-спектров в матрицах свидетельствуют, что такая асимметрия может быть лишь незначительной. Рассчитанные величины сродства к электрону для  $O_3$  и  $SO_2^-$ , найденные как разности полных энергий нейтр. молекулы и иона для соотв. процесса (вертикального, аднабатич., порога фотоотрыва) плохо согласуются с экспериментом, но метод ППДП/БУ правильно предсказывает для  $O_3$  величину сродства к электрону большую, чем для атома O. Рассчитанные значения силовых постоянных плохо согласуются с экспериментом, кроме постоянных вал. кол.  $SO_2$  и  $SO_2^-$  для к-рых правильно предсказана как относит. порядок, так и абс. значения величин.

А. Багатурьянц

$N_4^+$ ,  $O_4^+$ ,  $O_4^-$  (cb-ba non. cccccc) <sup>u.n.</sup> <sup>X1</sup> 3962 1973

Varney, R.N.; Pahl M.; Maerk T.D.

Acta Phys. Austral. 1973,  
38 (3), 287 - 94 (Eng).

Properties of the ionic systems  
tetraatomic nitrogen (+), tetraatomic  
oxygen (+), and tetraatomic oxygen (-).

C.A. 1974.80N18.100452u. 40



0,

X- 8019

1973

2Д421. Реакции атомов щелочных металлов с озоном, изолированных в матрице: ИК-спектры молекул озонидов щелочных металлов. Spiker Robert C., Jr, Andrews Lester. Matrix reactions of alkali metal atoms with ozone: infrared spectra of the alkali metal ozonide molecules. «J. Chem. Phys.», 1973, 59, № 4, 1851—1862 (англ.)

Получены ИК-спектры поглощения продуктов реакций, происходящих при одновременном осаждении озона и атомов щелочных металлов в матрице из аргона и азота при т-ре 15° К. Зарегистрированные полосы по-

≠ 1974 № 2

(+5)

(см. также  $Cs^+O_3^-$ , III)

глощения отнесены к колебаниям  $M+O_3^-$ ,  $M_2+O_3^-$ ,  $MO_2$  и других образований ( $M=Li, Na, K, Rb, Cs$ ). Поглощение в области 800 и 600  $\text{см}^{-1}$  относится к колебаниям  $v_3$  и  $v_2$  иона  $O_3^-$ , входящего в состав ионной пары  $M+O_3^-$ . Эксперименты с различными комбинациями изотопов кислорода показывают, что ионная пара имеет симметрию  $C_{2v}$ . Для  $Cs^+O_3^{2-}$  обнаружены полосы 281  $\text{см}^{-1}$  ( $^{16}\text{O}$ ) и 267,6  $\text{см}^{-1}$  ( $^{18}\text{O}$ ); относящиеся к межионному колебанию. Рассчитана величина валентного угла иона озонида: 111° для  $Na^+O_3^-$  и 105° для  $Li^+O_3^-$ .

Ю. М. Л.

Библ. 27.

$O_3^-$

Zhidomirov G. M.

1973

1352

"J. Magn. Reson"

1973, 11, N3, 367-72.

"Calculations of the anisotropic  
hyperfine coupling constants in  
free radicals."

$O_3^-$

\*43-8028  
X1-4419

1974

II Б206. Об электронном спектре иона озонида,  
 $O_3^-$ . Giguère Paul A., Herman Kazimiera.  
Sur le spectre électronique de l'ion ozonide,  $O_3^-$ . «Can.  
J. Chem.», 1974, 52, № 23, 3941—3943 (франц.; рез.  
англ.)

( $v_1, \tau_e$ )  
Получены спектры поглощения р-ра озонида калия в  
 $NH_3$  в видимой и УФ-области (200—600 нм) при т-ре  
—65°, а также спектры КР р-ра. Из анализа тонкой  
структуры полос найдены полосы, относящиеся к пере-  
ходу  $^2A_2 \rightarrow ^2B_1$  иона  $O_3^-$ , оценен коэф. экстинкции в  
максимуме полосы поглощения. Частота колебания  
 $820\text{ cm}^{-1}$  ( $v_1$ ) в возбужденном состоянии  $O_3^-$  намного  
ниже соотв-щей частоты колебания в основном состоя-  
нии ( $1010\text{ cm}^{-1}$ ), это говорит об удлинении связи O—O  
(согласно оценке — от 1,38 до  $\sim 1,48\text{ \AA}$ ). На полосы  
поглощения  $O_3^-$  накладывается ряд полос поглощения  
 $O_3$ ,  $O_2^-$  и  $HO_2$ .

А. Бобров.

X 1975 N 11

1974

O<sub>3</sub><sup>-</sup>

XU-8028

XI-4419

49485u Electronic spectra of the ozonide ion, O<sub>3</sub><sup>-</sup>. Giguere, Paul A.; Herman, Kazimiera (Fac. Sci., Univ. Laval, Quebec, Que.). *Can. J. Chem.* 1974, 52(23), 3941-3 (Fr). KO<sub>3</sub> dissolved in liq. NH<sub>3</sub> absorbs fairly strongly in the uv from 300 nm, in addn. to the strong band in the violet-blue. Previous conflicting results were due to interference of other species, such as O<sub>3</sub>, O<sub>2</sub><sup>-</sup>, and HO<sub>2</sub>, which also absorb in that region. The irregular spacing of the max. in the visible band points to some interference of a 2nd vibrational mode of the upper state.

greenup  
creativ

C.A1975. 82 N8

$O_3^-$

\*у-8028

1974

XI-4419

Электр-  
спектр

) 5 Д532. Об электронном спектре озонид-иона  $O_3^-$ .

Giguere Paul A., Негман Kazimiga. Sur le spectre électronique de l'ion ozonide,  $O_3^-$ . «Can. J. Chem.», 1974, 52, № 23, 3941—3943 (франц.; рез. англ.)

Исследован спектр поглощения озонида калия в растворе жидкого аммиака. В УФ-области, начиная с 300 нм, и в фиолетово-голубой области спектра наблюдаются сильные полосы поглощения. Неправильное распределение колебательной структуры видимой полосы свидетельствует о переналожении второй гармоники верхнего состояния. Библ. 20.

Т. Н. Т.

9. 1975. N 5

$\text{CF}_2^-$ ;  $\text{NO}_2^-$ ;  $\underline{\text{O}_3^-}$ ;  $\text{N}_3^-$ ;  $\text{CO}_2^-$ ;  $\text{NO}_2^+$ ;  $\text{N}_2\text{O}$  ( $E, \text{pacccm}$ ) 1974  
XT 4220

Harcourt R.D., Sillitoë J.E.,  
Austral. J. Chem., 1974, 27, N4, 691-711  
(cont.)

Some wave functions for the  
four-electron three-centre  
bonding of  
 $\pi$ -electron  
systems.

Br. Pus, 1975, 19130

140 (P)

*O<sub>3</sub>* -

XI-4590

1974

✓ 37051m EPR spectral parameters and structure of ozonide radicals. Mikheikin, I. D.; Zhidomirov, G. M.; Chuvylkin, N. D.; Kazanskii, V. B. (Inst. Org. Khim. im. Zelinskogo, Moscow, USSR). *Zh. Strukt. Khim.* 1974, 15(5), 769-73 (Russ). SCF MO LCAO calens. of the EPR parameters of O<sub>3</sub><sup>-</sup> with various models and comparison with literature data indicate that the lattice environment in which the O<sub>3</sub><sup>-</sup> is present must be known precisely and must be included in the calcns.

Michael Dymicky

C.d. 1975, 22, 16

1975

O<sub>3</sub>

5 Д452. Вибронные спектры иона O<sub>3</sub><sup>-</sup> в соединениях M+O<sub>3</sub><sup>-</sup>, изолированных в матрицах. Andrew Lester. Vibronic spectra of the ozonide ion in the matrix-isolated M+O<sub>3</sub><sup>-</sup> species. «J. Chem. Phys.», 1975, 63, № 10, 4465—4469 (англ.)

спектры поглощения Исследованы спектры поглощения (340—640 нм) иона O<sub>3</sub><sup>-</sup> в соединениях вида M+O<sub>3</sub><sup>-</sup>, изолированных в инертных матрицах и образующихся в результате матричных реакций атомов щелочных металлов (M=Li, Na, K, Cs) с молекулами O<sub>3</sub>. По аналогии с ClO<sub>2</sub>, электронный переход, ответственный за видимое поглощение иона O<sub>3</sub><sup>-</sup> интерпретирован как <sup>2</sup>B<sub>1</sub><sup>2</sup>A<sub>2</sub>. В спек-

☒ (74)

Li<sup>+</sup>O<sub>3</sub><sup>-</sup>Na<sup>+</sup>O<sub>3</sub><sup>-</sup>(спектры в матр) K<sup>+</sup>O<sub>3</sub><sup>-</sup>  
Cs<sup>+</sup>O<sub>3</sub><sup>-</sup>

φ. 1976, N5

трах Li- и Na-соединений обнаружено 14 хорошо разрешенных колебательных полос с  $\Delta\nu \sim 8000 - 900$  см<sup>-1</sup>, которые образуют прогрессию, приписанную колебанию  $v_1'$ . Сложная структура шести первых полос свидетельствует о наличии более слабой прогрессии по колебанию  $v_2' = 300$  см<sup>-1</sup>. На основании сравнения спектров изотопзамещенных соединений локализовано положение начала электронной полосы (переход O—O): 17 730 см<sup>-1</sup> для  $\text{Li}^{+16}\text{O}_3^-$  и  $\text{Li}^{+18}\text{O}_3^-$  в Кг. Определены колебательные константы в возбужденном состоянии. Приведены факты, свидетельствующие о наличии в исследованной спектральной области непрерывного диссоциационного поглощения. Библ. 12. В. С. И.

51003.8743

Ch, Ph, TC, Gph,  
MGU

40892

4975

O<sub>3</sub><sup>-</sup> фрагменты

3360

Cosby P.C., Bennett R.A., Peterson J.R.,  
Moseley J.T.

Photodissociation and photodetachment of  
molecular negative ions. II. Ions formed  
in oxygen.

"J. Chem. Phys.", 1975, 63, N 4, 1612-1620

(США. O<sub>3</sub><sup>-</sup>, II)

(англ.)

11.02.1980

436 437

ВИНИТИ

50620.7282  
Ch, Ph, TG, MGU

Радиоактивн  
1975  
 $O_3^-$  40892  
(Ni) #45-9212

Bates J.B., Pigg J.C.  
Resonance Raman and electronic  
absorption spectra of  $O_3^-$  ions in  
 $\gamma$ -irradiated  $KClO_3$  and  $NaClO_3$ .

"J.Chem.Phys.", 1975, 62, N 10, 4227-4239

(англ.)

0391 пик

355 366 0383

ВИНИТИ

1975

O<sub>3</sub>

18 Б213. Колебательные спектры иона O<sub>3</sub><sup>-</sup>. Карелин А. И. В сб. «Неорган. перекисн. соединения», М., «Наука», 1975, 172—177

Проанализированы лит. данные о колебательных спектрах и строении озонидиона O<sub>3</sub><sup>-</sup>. Показано, что колебательные частоты иона O<sub>3</sub><sup>-</sup> в озониде калия и в матрице из инертного газа согласуются между собой. Частоты вал. кол. и валентная силовая константа связи O—X (где X=O или F) увеличиваются в последовательности OF<sub>2</sub>, O<sub>3</sub><sup>-</sup>, O<sub>3</sub> с уменьшением числа электронов. Аналогичная закономерность известна для двухатомного ряда O<sub>2</sub><sup>2-</sup>, O<sub>2</sub><sup>-</sup>, O<sub>2</sub>, O<sub>2</sub><sup>+</sup>. Спектр O<sub>3</sub><sup>-</sup> сходен со спектром изоэлектронного радикала OF<sub>2</sub>. Валентный угол и длина связи O—O, вычисленные различными авторами, находятся в согласии с параметрами r(O—O)=1,34 Å и <O-O-O>=110°, оцененные впервые автором.

Резюме

1975 год

Х 1975 N 18

O<sub>3</sub>

1975

C.P.L. Noem.

(v<sub>i</sub>)

84: 66970g Vibrational spectra of the ozonide ion. Karel'lin,  
A. I. (Inst. Nov. Khim. Probl., Chernogolovka, USSR). *Neorg.  
Perekisnye Soedin., Dokl. Vses. Soveshch.* 1973 (Pub. 1975),  
172-7 (Russ). Edited by Vol'nov, I. I. "Nauka": Moscow,  
USSR. A review on the ir, Raman and electronic spectra of the  
O<sub>3</sub><sup>-</sup> ion, their interpretation and their correlation with other (e.g.,  
x-ray diffraction, force consts., EPR) data. 55 Refs.

T. Ordentlich

C.A. 1976.84 n10

$O_3^-$

1975

Krauss ill.

robustus.

U.S. Aerosp. Res Lab

nomens.

[Rep] 1975, ARL TR 75-0202

metrus

Vol 1, 206 pp (Eng)

(cut  $NO_2$ ; III)

50717.6684  
Ch, Ph, TC

O<sub>3</sub>-

96615

1975

\* 4 - 9451.

Spoliti M., Nunziante Cesaro S.

Comment on the IR study of the magnesium-discharged oxygen doped argon matrix reaction. "J. Mol. Struct.", 1975, 26,

N 2, 442

(англ.)

04.11.1975

374 375 403

ВИНИТИ

70228.3432  
Ch, Ph, MGU, TC,  
Gph

40892  
O<sub>3</sub> (гомоген.) 1976  
Х9-17133

Cosby P.C., Ling J.H., Peterson J.  
R., Moseley J.T. Photodissociation and  
photodetachment of molecular negative ions  
III. Ions formed in CO<sub>2</sub>/O<sub>2</sub>/H<sub>2</sub>O mixtures.  
"J. Chem. Phys.", 1976, 65, N 12,  
5267-5274 (англ.)

08.22  
ВИНИТИ

793 801 A19

60202.6673

Ch, Ph, TC

96201

 $O_3^-$  (Спектр)

1975

3787

Da Silva E.C., Gualberto G.M., Vargas  
 H., Rettori C. ESR of the ozonide.

$(O_3^-)$  radical in  $\gamma$ -irradiated  $AgClO_3$ .

"Chem. Phys. Lett.", 1976, 37, N 1,

138-139

0552 (англ.)

526 527

ВИНИТИ

$O_3^-$

Wight C.A., Fult B.S.,  
Andrews L.

1976

смусуб.

носков

J. Chem. Phys., 1976,  
65(4), 1244-9.



(Cell  $HCl_2^-$ )  $\tilde{\Pi}$

1974

O<sub>3</sub>-

Abdullah Suhail F.,

Sabin John R.,

notemus.

cp - year,

KB. Mex.

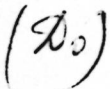
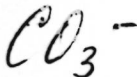
paeret

Fla. Sci, 1974, 40(1), 43-6

C.A. 1974. 84. N2

Cu O<sub>3</sub>; III

87: 190022a A study of the reaction  $O_3^- + CO_2 \rightleftharpoons CO_3^- + O_2$  and its implication on the thermochemistry of  $CO_3^-$  and  $O_3^-$  and their negative ions. Dotan, I.; Davidson, J. A.; Streit, G. E.; Albritton, D. L.; Fehsenfeld, F. C. (Aeron. Lab., NOAA Environ. Res. Lab., Boulder, Colo.). *J. Chem. Phys.* 1977, 67(6), 2874-9 (Eng). The reaction  $O_3^- + CO_2 \rightleftharpoons CO_3^- + O_2$  was examd. in the forward and reverse directions in a variable-temp. flowing afterglow from 200 to 600 K and in a flow-drift tube at mean relative kinetic energies from 0.04 to 1 eV. The forward direction is clearly established as the exothermic direction. Furthermore, collisional dissociation of  $CO_3^-$  and  $O_3^-$  ions in the flow-drift tube at high  $E/N$  to form  $O^-$  shows that  $CO_3^-$  is the more stable ion. All of this implies that bond dissociation energy  $D(CO_2 + O^-) > D(O_2 + O^-)$ . Kinetic-equil. studies at the higher temps. show that the reverse rate const. is  $< 6 \times 10^{-15} \text{ cm}^3 \text{ s}^{-1}$  below 600 K. When this is combined with the estd. entropy change of the reaction one obtains the quant. lower limit  $D(CO_2 + O^-) - D(O_2 + O^-) \geq 0.58 \text{ eV}$ . The reaction  $OH^- + O_3 \rightarrow O_3^- + OH$  is found to be fast, thereby establishing lower limits for the electron affinity of  $O_3$  and the  $O^-$  bond dissociation energy of  $O_3^-$ . When taken with the above limit for the relative  $CO_3^-$  and  $O_3^-$  bond dissociation energy one obtains lower limits for the electron affinity of  $CO_3^-$  and the  $O^-$  bond dissociation energy of  $CO_3^-$ . The latter lower limit does not overlap an upper limit for  $D(CO_2 + O^-)$  obtained from recent photodissociation studies. The relation of this discrepancy to the electron affinity of  $O_3$  is discussed.



(+1) 4

C.A. 1974, 84, 1224

$O_3^-$

( $\Sigma_i$ )

7 Б1054. Долгоживущее возбужденное состояние иона  $O_3^-$ . Доказательство его существования методом индуцированной соударениями диссоциации. Wu R. L. C., Tiernan T. O., Lefshitz C. A long-lived excited state of  $O_3^-$ ; evidence from collision-induced dissociation. «Chem. Phys. Lett.», 1977, 51, № 2, 211—214 (англ.)

На двойной масс-спектрометрич. установке при т-ре 30° измерены зависимости сечения  $\sigma$  процесса индуцированной соударениями диссоциации иона  $O_3^-$ :  $O_3^- + X \rightarrow O^- + O_2 + X$  (1) ( $X = He, Ar, CO_2$ ) от поступательной энергии  $E$  иона  $O_3^-$  (0,2—11 эв в координатной системе центра масс). Ионы  $O_3^-$  получали двумя способами: путем электронной бомбардировки смесей  $O_3 + N_2O$  (по р-ции  $O^- + O_3 \rightarrow O + O_3^-$  (2)) или смесей  $O_3 + H_2O$  (по р-ции  $OH^- + O_3 \rightarrow OH + O_3^-$  (3) при давл.  $< 0,1$  мм. Найденные зависимости  $\sigma$  от  $E$  различают-

1977

2-IV-1978

ся при различных способах получения  $O_3^-$ : энергетич. пороги процесса (1) равны 0,96 и 1,80 эв соотв. при получении  $O_3^-$  в смесях  $O_3$  с  $N_2O$  и  $H_2O$ . Величина 1,80 эв соответствует известным значениям энергии диссоциации связи  $O_3$  и сродства  $O_3$  к электрону, равным соотв. 1,05 и 2,2 эв. Величина 0,96 эв приписана возбужденному состоянию  $O_3^-$ , возникающему в р-ции (2), с энергией возбуждения  $0,84 \pm 0,2$  эв. Время жизни этого состояния несколько мксекунд, а константа скорости его столкновительной дезактивации  $\leq 10^{-11}$  см<sup>3</sup>/молекула·сек. Обсуждается природа возбуждения — колебательное или электронное. Возможно также, что в р-ции (2) образуется циклич. изомер иона  $O_3^-$ , имеющего нециклич. структуру, к-рый возникает в р-ции (3).

Б. Е. Скурат

1977

13-

Д208. Долгоживущее возбужденное состояние  $O_3^-$ .  
Доказательство существования, полученное при исследовании столкновительной диссоциации. Wu R. L. C., Tiernan T. O., Lifshitz C. A long-lived excited state of  $O_3^-$ ; evidence from collision-induced dissociation. «Chem. Phys. Lett.», 1977, 51, № 2, 211—214 (англ.)

С помощью двойной масс-спектрометрической установки исследована диссоциация отрицательных ионов озона на газовой мишени ( $He$ ,  $Ar$ ,  $CO_2$ ). Ионы  $O_3^-$  получались перезарядкой по реакциям  $O^- (O_3, O)O_3^-$  (I) или  $OH^-(O_3, OH)O_3^-$  (II); исходные реагенты получались при облучении электронами соответственно смесей  $O_3 + N_2O$  и  $O_3 + H_2O$ . Измерено эффективное сечение диссоциации  $O_3^-$  как функция энергии столкновения (до 11 эВ в Ц-системе). Определены пороги диссоциации  $O_3^-$ , оказавшиеся различными для двух способов получения  $O_3^-$  и равными, соответственно,  $0,96 \pm 0,1$  и  $1,80 \pm 0,1$  эВ для реакций I и II, независимо от природы мишени. Сделано предположение о существовании

do; T; E;

Ф, 14, 1978

нии долгоживущего ( $>10^{-6}$  сек) состояния изомерной  
формы  $O_3^-$  с энергией возбуждения  $0,84 \pm 0,2$  эв.

В. Ю. О.



$O_3^-$

1977

cytate  
uzolupob  
gopell,

S7: 209045j A long-lived excited state of ozone(-); evidence from collision-induced dissociation. Wu, R. L. C.; Tiernan, T. O.; Lifshitz, C. (Dep. Chem., Wright State Univ., Dayton, Ohio). *Chem. Phys. Lett.* 1977, 51(2), 211-14 (Eng). Translational energy thresholds were detd. for collision-induced dissoen.  $O_3^-$  formed by 2 alternative reactions. The different thresholds obsd. for these 2 processes, 0.96 eV and 1.80 eV resp., suggest the existence of a long-lived ( $>\mu s$ ) excited state or isomeric form of  $O_3^-$ .

C.A. 1977, 87, n26

1977

Wu R.-L.C., Lifshitz and al...  
(Cer. Koenigsberg, Germany)

O<sub>3</sub><sup>-</sup>

( $\partial$ , Ae)

In; Argonne Natl. Lab. [Rep]

ANL. 1977, AND-77-21.

Conf. High Temp. Sci. Open -  
Cycle, Coal- Fired MHD system

~~227-29.~~

49-53

1978

 $O_3^-$ 

6 Д426. Фотодиссоциационная спектроскопия  $O_3^-$ .  
 Cosby R. C., Moseley J. T., Peterson ~~J. R.~~,  
 Ling J. H. Photodissociation spectroscopy of  $O_3^-$ .  
 «J. Chem. Phys.», 1978, 69, № 6, 2771—2778 (англ.)

*фотодиссоц*

Сечение фотодеструкции иона  $O_3^-$  в газовой фазе измерено в области 6400—5080 Å с помощью дрейфового масс-спектрометра и перестраиваемого лазера на красителе. В указанной области длин волн ионы  $O_3^-$  диссоциируют на  $O^- + O_2$ . На кривой сечения фотодеструкции обнаружена структура, приписанная диссоциации с колебательных уровней возбужденного электронного состояния иона  $O_3^-$ . Идентифицированы прогрессии в деформационном и симметричном валентном колебаниях возбужденного состояния иона  $O_3^-$ . Наблюдались также переходы с возбужденных уровней тех же нормальных колебаний основного состояния иона  $O_3^-$ . Полученные данные сопоставлены с результатами исследования спектров поглощения ионов  $O_3^-$  в конденсиро-

9.1979 NCL

ванных средах. На основании теоретич. расчетов высказано мнение, что диссоциационным состоянием иона  $O_3^-$ , проявляющимся в исследованной области спектра, является состояние  $1^2A_1$  или  $1^2A_2$ . Приведены доказательства образования в реакции  $O^- + 2O_2 \rightarrow O_3^- + O_2$  колебательно возбужденных ионов  $O_3^-$ . Оценена константа скорости релаксации возбужденных ионов  $O_3^-$  в  $O_2$ ,  $K \sim 10^{-14}$  см<sup>3</sup>сек<sup>-1</sup>. Библ. 45.

В. С. Иванов

Л. J.

*O<sub>3</sub>*

1978

89: 206856c Photodissociation spectroscopy of the ozonide ion. Cosby, P. C.; Moseley, J. T.; Peterson, J. R.; Ling, J. H. (Mol. Phys. Lab., SRI Int., Menlo Park, Calif.). *J. Chem. Phys.* 1978, 69(6), 2771-8 (Eng). The photodissocn. cross

section of gas-phase O<sub>3</sub><sup>-</sup> was measured using a tunable dye laser over a wavelength range of 6400-5080 Å. The cross section exhibits considerable structure which is consistent with dissociation from vibrational levels of a quasibound excited electronic state. Analysis of the structure indicates progressions in 2 vibrational modes of the excited state. Photodissocn. spectra of ions prepared in both excited and ground vibrational levels also yields 2 vibrational frequencies for the ground X<sup>2</sup>B<sub>1</sub> state and an apparent rate coeff. for vibrational relaxation in O<sub>2</sub>. The mol. consts. detd. here for the 2 O<sub>3</sub><sup>-</sup> electronic states are compared with those obtained from absorption spectra of the ion in other media. Identification of the dissociating state is discussed.

*Crescif*

CIA, 1978, 89 May

$O_3$

10 Б1108. Фотодиссоциационная спектроскопия  $O_3^-$ . (1978)  
Cosby R. C., Moseley J. T., Peterson J. R.,  
Ling J. H. Photodissociation spectroscopy of  $O_3^-$ . «J.  
Chem. Phys.», 1978, 69, № 6, 2771—2778 (англ.)

При помощи квадрупольного масс-спектрометра изме-  
рены сечения  $\sigma$  фоторазрушения ионов  $O_3^-$  под дейст-  
вием излучения перестраиваемого лазера на красителе  
в зависимости от длины волны  $\lambda$  в диапазоне 6400—  
5080 Å. Ионы  $O_3^-$  получали по reaction  $O^- + 2O_2 \rightarrow O_3^- +$

$+ O_2$  (1) при дрейфе ионов  $O^-$  (генерировали в процес-  
се диссоциативного электронного прилипания к моле-  
кулам  $O_2$ ) в газ.  $O_2$  при давл. 0,3—0,4 мм и т-ре  
300° К. Длина области дрейфа до облучения 2,5—  
50,8 см, так что число термализующих столкновений  $O_3^-$   
в газ. фазе можно было менять в широких пределах.  
Показано, что фоторазрушение  $O_3^-$  происходит преиму-  
щественно в процессе фотодиссоциации  $O_3^- + h\nu \rightarrow O^- +$   
 $+ O_2$ , а не фотоотщепления электрона  $O_3^- + h\nu \rightarrow O_3 + e^-$ .  
Зависимость  $\sigma$  от  $\lambda$  обнаруживает структуру в виде ря-  
да широких максимумов, каждый из к-рых содержит  
три или большее число более узких компонент. На ос-  
новании зависимостей  $\sigma$  от длины дрейфа при различ-  
ных  $\lambda$  сделан вывод, что при энергиях фотонов  $E \leq$

Х:1040, V/10

$\leq 2,15$  эв наблюдаемая структура в спектре фотодеструкции  $O_3^-$  обусловлена возбужденными колебательными уровнями основного электронного состояния  $O_3^-(X^2B_1)$ , а при более высоких значениях  $E$  структура связана с колебательными уровнями диссоциирующего квазивозбужденного электронно-возбужденного состояния  $O_3^-$ . Идентифицированы прогрессии переходов, начинающихся в симм. вал. и деф. кол. модах возбужденного состояния, и переходов, начинающихся из этих мод в  $X^2B_1$ -состоянии. Наблюдаемая структура  $\sigma$  может быть объяснена на основании двух наборов колебательных частот для этих состояний ( $\text{см}^{-1}$ ): для основного состояния  $\omega_1''=790\pm 50$  или  $928\pm 50$ ;  $\omega_2''=419\pm 20$  или  $403\pm 20$ ; для возбужденного состояния  $\omega_1'=855\pm 20$  или  $794\pm 20$ ;  $\omega_2'=290\pm 20$  или  $282\pm 20$ ;  $T_0=2,146$  или  $2,163$  эв. Диссоциирующее состояние  $O_3^-$  экспериментально не идентифицировано. Согласно известным из лит-ры расчетным данным, им может быть состояние  $1^2A_1$  или  $1^2A_2$ . Получена оценка энергии диссоциации иона  $D[O_3^-(X^2B_1)] = 1,65 \pm 0,06$  эв. Эта величина сильно расходится с известной из лит-ры оценкой верхнего предела  $D(O_3^-) \leq 1,32$  эв, полученной на основе сравнительных кинетич. исследований фотодиссоциации  $CO_3^-$  и  $O_3^-$ . Причины этого расхождения не ясны. Полученные данные показывают, что в р-ции (1) образуются колебательно-возбужденные ионы  $O_3^-$ , релаксация которых в газ. среде  $O_2$  происходит с эффективной константой скорости  $10^{-14} \text{ см}^3/\text{молекула}\cdot\text{сек.}$

В. Е. Скурат

O<sub>3</sub> -

1978

6 Д394. "Ион-молекулярные" реакции отрицательных ионов озона и их использование для термохимии O<sub>3</sub><sup>-</sup>. Lifshitz C., Wu R. L. C., Tiernan T. O., ~~Teitel~~ williger D. T. Negative ion-molecule reactions of ozone and their implications on the thermochemistry of O<sub>3</sub><sup>-</sup>. «J. Chem. Phys.», 1978, 68, № 1, 247—260 (англ.)

(80) Двойной масс-спектрометр с соосными пучками использован для определения констант скорости реакций отрицат. ионов с участием озона. Изучены реакции перезарядки типа M<sup>-</sup>+O<sub>3</sub>=O<sub>3</sub><sup>-</sup>+M (где M=O, OH, F, Cl, Br, J, S, SH, Cl<sub>2</sub>, C<sub>2</sub>H, NO<sub>2</sub> и CO<sub>3</sub>) и реакции передачи частиц типа MO<sup>-</sup>+O<sub>2</sub>=O<sub>3</sub><sup>-</sup>+M (где MO=O<sub>2</sub>, NO<sub>2</sub>, NO<sub>3</sub>, CO<sub>3</sub>). Определены пороги эндотермич. процессов. Определен нижний предел сродства к электрону озона 2,26 (+0,04, -0,06) эв и энергия диссоциации D (O<sup>-</sup>-O<sub>2</sub>)=1,8 эв из процессов диссоциации O<sub>3</sub><sup>-</sup>+M=O<sup>-</sup>+O<sub>2</sub>+M.

Г. К.

Ф, 1978, N6

$O_3^-$

1979

Corderman R.P. et al

Annu. Rev. Phys. Chem.

Vol. 30. Palo Alto, Calif.,  
1979, 347-78

гидролиз  
снекр

ин.  $OH^-$  - III

ин.  $PH_2^-$  - III

O<sub>3</sub><sup>-</sup>

Tomura 87444

1979

Smith F.P., Lee L.C.

romo-  
mccoy.

J. Chem. Phys., 1979,  
71(5), 2323-24.

$O_3^-$  Detrich J., et al. 1980

Int. J. Quantum. Chem.,  
1980, Quantum, Chem.,  
(J). Symp, N14, 262.

pacr.  
notesus.  
notespx.  
curs. notes.

• (cur.  $N_2O^+$ ;  $\text{III}$ )

$D_3^-$

1980

Rodgers R. V. et al

exp.  
isomer

J. Chem. Phys. 1980,  
72(5), 2998-3000

Cu O<sup>-</sup>;  $\overline{\text{III}}$

1980

O<sub>3</sub><sup>-</sup>

NH<sub>2</sub>

NO<sub>2</sub>

NF<sub>2</sub>

facets  
mocj. obelix-  
modified  
picosoln.

C.H. 1980.  
93 n 18

(+3)

☒

93: 174164s Ab initio calculation of hyperfine splitting constants of molecules. Ohta, K.; Nakatsuji, H.; Hirao, K.; Yonezawa, T. (Fac. Eng., Kyoto Univ., Kyoto, Japan). *J. Chem. Phys.* 1980, 73(4), 1770-6 (Eng). Hyperfine splitting consts. of mols., Me, Et, vinyl, allyl, cyclopropyl, formyl, O<sub>3</sub><sup>-</sup>, NH<sub>2</sub>, NO<sub>2</sub>, and NF<sub>2</sub> radicals were calcd. by the pseudo-orbital (PO) theory, the unrestricted HF (UHF), projected UHF (PUHF) and single excitation (SE) CI theories. The PO theory is based on the symmetry-adapted-cluster (SAC) expansion proposed previously (H. Nakatsuji 1977,78). Several contractions of the Gaussian basis sets of double-zeta accuracy were examd. The UHF results were consistently too large to compare with expts. and the PUHF results were too small. For the mols. studied, the PO theory and SECI theory gave relatively close results. They were in fair agreement with expts. The first-order spin-polarization self-consistency effect, which is important for atoms, is relatively small for the mols. studied. The result shows an importance of eliminating orbital-transformation dependence from conventional first-order perturbation calcns.

O<sub>3</sub><sup>-</sup>

ommunic 11401

1981.

Campelo L.C., et al.

Raman chart

~~8~~ Cd(Cl<sub>3</sub>)<sub>2</sub>

J. Raman Spectrosc.  
1981, 10, 33-35.

$O_3^-$

12226

1981

1 Д652. Исследование фотодиссоциации ионов  $O_3^-$  в поле лазерного излучения с помощью тройного квадрупольного масс-спектрометра. Laser photodissociation of  $O_3^-$  by triple quadrupole mass spectrometry. Hiller J. F., Vestal M. L. «J. Chem. Phys.», 1981, 74, № 11, 6096—6105 (англ.)

С помощью системы из трех последовательных квадрупольных масс-фильтров получены спектральные зависимости сечений фотодиссоциации газообразных ионов  $O_3^-$  с образованием осколков  $O^-$  или  $O_2^-$ . Первый масс-фильтр применен в источнике ионов с электронным ударом для генерации  $O_3^-$ , второй, являясь камерой фотон-ионных столкновений, одновременно служит собирающей линзой для заряженных продуктов фотодиссоциации  $O_3^-$  независимо от их энергии и направления движения, третий предназначен для счета конкретных осколков ( $O^-$  или  $O_2^-$ ). В качестве источника фотонов применен лазер на красителе, перестраиваемый в области 380—650 нм. Установлено, что в

м.н., №

φ. 1982, 18, 11

исследованном спектральном диапазоне лежат переходы  ${}^2B_1 \rightarrow {}^2A_2$  и  ${}^2B_1 \rightarrow {}^2A_1$ . По спектральным зависимостям сечений фотодиссоциации определены молекулярные постоянные для состояний, участвующих в переходах ( $T_{\infty}$ ,  $\nu_1'$ ,  $\nu_2'$ ,  $\nu''_1$ ,  $\nu''_2$ ), а также величины энергии диссоциации (в эВ):  $D(O-O_2^-) \leq 2,41$ ;  $D(O_2-O^-) \leq 1,388$  и  $D(O_2-O) \leq 0,747$ . Полученные результаты хорошо согласуются с литературными данными. Библ. 33.

М. Т.

адс  
чых'

$O_3^-$

м.н., №

↗

(+)

Х. 1982, 19 АБ, № 1

Омск 12226

1981

1 Б1637. Изучение лазерной фотодиссоциации ионов  $O_3^-$  методом тройной квадрупольной масс-спектрометрии. Hiller J. F., Vestal M. L. Laser photodissociation of  $O_3^-$  by triple quadrupole mass spectrometry. «J. Chem. Phys.», 1981, 74, № 11, 6096—6105 (англ.)

На установке, состоящей из трех последовательных квадрупольных масс-фильтров, измерены абрс. сечения процессов  $O_3^- + h\nu \rightarrow O^- + O_2$  и  $\rightarrow O_2^- + O$  в зависимости от длины волны фотолизующего света в области 380—650 нм, к-рую изменяли ступеньками величиной 0,2 нм или меньше. Ионы  $O_3^-$  получали из  $O_2$  при давл. 0,2 Торр методом хим. ионизации по р-циям:  $O_2 + e \rightarrow O^- + O + O$  (диссоциативное прилипание электрона) и  $O^- + 2O_2 \rightarrow O_3^- + O_2$ . Ток ионов  $O_3^-$  составлял  $\sim 10^{-11} A$ . В кач-ве источника света использовали перестраиваемый импульсный лазер на красителе. На основании зависимостей сечений процессов от длины волны сделан вывод о фотодиссоциации  $O_3^-$  из двух возбужденных состояний —  $^2A_2$  и  $^2A_1$ . По этим зависимостям опре-

$O_2^- O$  (№)

делены пороговые энергии процессов и произведено  
отождествление колебат. уровней. Для перехода  ${}^2A_2 \leftarrow {}^2B_1$ ,  $T_{00} = 2,046 \pm 0,002$  эВ,  $v_1' = 815 \pm 10$  см $^{-1}$ ,  
 $v_2' = 275 \pm$  см $^{-1}$ ,  $v_1'' = 975 \pm 10$  см $^{-1}$ ,  $v_2'' = 590 \pm 10$  см $^{-1}$ ;  
для перехода  ${}^2A_1 \leftarrow {}^2B_1$   $T_{00} = 2,655$  эВ,  $v_1' = 760 \pm 20$  см $^{-1}$ ,  
 $v_2' = 190 \pm 20$  см $^{-1}$ . Пороговая энергия образования  $O_2^-$   
из основного состояния  $O_3^-$  найдена равной  $2,41 \pm$   
 $\pm 0,01$  эВ. В сочетании с др. термохим. данными это  
позволяет найти след. оценки энергий диссоциации:  
 $D(O_2 - O^-) \leq 1,388 \pm 0,013$  эВ,  $D(O_2 - O) \leq 0,747 \pm$   
 $\pm 0,013$  эВ. Последняя величина расходится со значе-  
нием  $1,05 \pm 0,02$  эВ, определенным калориметрич. мето-  
дом, но согласуется с результатами спектроскопич. ис-  
следований положит. и отриц. ионов озона.

Б. Е. Скурат

• K

Опись 14450 1982

$O_3^-$

23 Б186. Ультрафиолетовый спектр и распад ион-радикала озона  $O_3^-$  в сильно щелочном растворе.  
Sehested K., Holtzman J., Bjergbakke E.,  
Hart E. J. Ultraviolet spectrum and decay of the ozonide ion radical,  $O_3^-$ , in strong alkaline solution. «J. Phys. Chem.», 1982, 86, № 11, 2066—2069 (англ.)

Измерены УФ-спектры ионов  $O_3^-$ , образующихся при импульсном радиолизе в ячейке высокого давления  $N_2O$  (40 атм) в равновесии с сильно щел. р-ром (рН—13—14), содержащим кислород. После 10 мкс после облучающего импульса наблюдено поглощение с максимумом ~430 нм, минимумом ~280 нм и увеличивающееся непрерывно до 220 нм, характерное для  $O_3^-$ . После 30 мкс после импульса в спектре наблюдена только полоса с максимумом 240 нм, отнесенная к иону  $O_2^-$ . Время жизни этой полосы, увеличивающееся с повышением конц-ии  $NaOH$  оценено в несколько секунд.

УФ спектр

X. 1982, 19, N 23

Отмечено, что выход  $O_2^-$  чуть меньше половины первоначально образующегося  $O_3^-$  и примерно такой же, как и в насыщ. кислородом р-рах. Предложен след. механизм распада  $O_3^- : O_3^- + O^- \rightarrow [O_4^{2-}] \rightarrow 2O_2^-$  (1) и  $O_2^- + O^- + H_2O \rightarrow O_2 + 2OH^-$  (2). Показано, что р-ции  $O_3^- + O_3^- \rightarrow$  продукт и  $O_3^- + O_2^- \rightarrow$  продукт не играют роли в используемых условиях импульсного радиолиза. Проведен модельный кинетич. расчет процессов, происходящих в ячейке высокого давления и в насыщ.  $O_2$  щел. р-рах, результаты к-рого хорошо согласуются с эксперим. данными. Рассчитаны константы скорости р-ций, связанных с распадом иона  $O_3^- : k_1 = (7,0 \pm 1,0) \times 10^8$  дм<sup>3</sup>мол<sup>-1</sup>с<sup>-1</sup> и  $k_2 = (6,0 \pm 1,0) \times 10^8$  дм<sup>3</sup>мол<sup>-1</sup>с<sup>-1</sup>.

С. Б. Осин



$O_3^-$

Отміс 14450 1982

12 Д639. УФ-спектр и распад ион-радикала озонида,  $O_3^-$ , в сильном щелочном растворе. Ultraviolet spectrum and decay of the ozonide ion radical,  $O_3^-$ , in strong alkaline solution. Sehested K., Holstman J., Bjergbakke F., Hart Edwin J. «J. Phys. Chem.», 1982, № 11, 2066—2069 (англ.)

Методом импульсного радиолиза исследован процесс образования и распада ион-радикалов озонида,  $O_3^-$ , в сильных щелочных растворах. Для получения ион-радикалов озонида использованы закись азота при давл. 4 МПа и кислород при давл. 0,1 МПа. Измерен УФ-спектр ион-радикалов  $O_3^-$  и идентифицированы продукты распада. Обсужден механизм и приведена кинетич. схема распада. Оценены константы скорости отдельных реакций. Библ. 19.

Е. Н. Викторова

УФ-спектр  
и распад

Оп. 1982, 18, N 12

O<sub>3</sub><sup>-</sup>

1982.

Ярков А. В.

J:

Абсолютур. диссертации  
на соискание ученой  
 степени к.х.н. Изд.: ИГУ,

1982.

O<sub>3</sub><sup>-</sup>

1987

106: 75479d Laser photodetachment of ozone(1-). Wang, L. J.;  
Weo, S. B.; Helmy, E. M. (Dep. Phys., Univ. Delaware, Newark, DE  
19716 USA). *Phys. Rev. A: Gen. Phys.* 1987, 35(2), 759-63 (Eng).  
Spectroscopic laser photodetachment of O<sub>3</sub><sup>-</sup> was accomplished in a  
flight tube with mass and mobility identification in the photon energy  
range from 2.0 to 4.7 eV. The initial ionic state is in the electronic  
and vibrational ground state. The photodetachment cross section of  
O<sub>3</sub><sup>-</sup> increases with the photon energy at a rate of  $\sim 1.25 \times 10^{-18}$   
cm-eV<sup>-1</sup>, with the threshold at  $2.082 \pm 0.046$  eV. The bond length  
and the bond angle of O<sub>3</sub><sup>-</sup> were detd. through Franck-Condon factor  
anal. as  $r = 1.3415 \pm 0.0300$  Å and  $\theta = 112.6 \pm 2.0^\circ$ .

2e, 4,  
cnekmpqpo -  
noomprisQ  
mekmpqsa

c.A.1987, 106, N 10

$O_3^-$

1987

8 Л307. Лазерное фотоотщепление электрона  $O_3^-$ .  
Laser photodetachment of  $O_3^-$ . Wang L. J., Woo S. B.,  
Helmy E. M. «Phys. Rev. A: Gen. Phys.», 1987, 35,  
№ 2, 759—763 (англ.)

Получена спектральная зависимость сечения фотоотщепления электрона в реакции  $O_3^- + h\nu \rightarrow O_3 + e^-$ . Измерения проведены в молекулярном потоке с сортировкой ионов  $O_3^-$  электрич. полем. Установлено, что сечение фотоотщепления имеет порог, отвечающий энергии сродства к электрону для  $O_3$   $2,082 \pm 0,040$  эВ. В области за порогом сечение растет с увеличением энергии со скоростью  $1,25 \cdot 10^{-18}$  см/эВ (линейный рост модулирован ступенями  $0,136$  эВ, отвечающими валентным колебаниям  $O_3$ ). Определен угол  $\theta = 112,6 \pm 2,0$  и длина связи  $r = 1,34 \pm 0,03$  Å в ионе  $O_3^-$ . Библ. 20. И. Н. А.

ll n.

phi. 1987, 18, N8

D<sub>3</sub>-

(Om. 30940)

1988

Dines T. J.,

Spectrochim. acta A

1988, 44, N II, 1087 -  
- 1092.



CKP, Empyk-  
myxa losd.  
СОСМОНИ.

O<sub>3</sub>

Om. 30490

1988

Jacox et al.,

Ti, Pi; cf. Phys. and Chem. Ref.

Data, 1988, 17, N<sub>2</sub>, 343.

$D_3^-/(D_2)_T$  (DM. 30.990) 1988

HiraoKA K.,

сторуб-  
ночн

Chem. Phys. 1988, 125,  
N 2-3, 439-444.

$O_3^-$

1989

Basch H.

$\mu_{in}$

Chem. Phys. lett., 1989,  
157, n° 1-2, 129-34



( $Ca \cdot O_3$ ) III)

O<sub>3</sub><sup>-</sup> (OM. 33760) 1990

Hacaloglu Y., Suzer S.,  
et al.

checkmp. J. Phys. Chem. 1990,  
6  
acceptance 94, N.S., 1459-1464.

Chemical Ionization  
Discharge ● of N<sub>2</sub>O for

Matrix Infrared Spectro-  
scopic Study of Isolated  
Anions.

$O_3^-$

Jacobson L. E., 1989

Thompson W. E.

UK-Crekmer

High Temp. Sci. 1988-1989.

28, Spec. Vol. C. 225-234.

(cu.  $\bullet$   $CO_2^-$ ;  $\underline{III}$ )

O<sub>3</sub> - [112125] 1990  
Peterson K.A., Mayhofer R.C.,  
Woods R.C.,

M.N. J. Chem. Phys. 1990, 93,  
NF, C. 5020 - 5028.

P.DL. 97. N 11, 1991

1991

$O_3^-$  Guo Y., Whitehead et al.,  
J. Mol. Struct. Theochem.

iii.

1991. 231, c. 307-319.

(Cet.  $\bullet$   $ClO_4^-$ ; III)

$O_3^-$

1992

(We, Weke)

116: 139004m Time-resolved Raman observation of the aqueous ozonide ion ( $O_3^-$ ). Su, Yali; Tripathi, G. N. R. (Radiat. Lab., Univ. Notre Dame, Notre Dame, IN 46556 USA). *Chem. Phys. Lett.* 1992, 183(5-6), 388-91 (Eng). A Raman study of the  $O^- + O_2 \rightarrow O_3^-$  reaction in aq. soln. is reported. The reaction half-period was measured as  $\approx 200$  ns in oxygen satd. soln. at room temp. Spectroscopic evidence for the  $O_3^-$ -solvent coupled vibrations has been found. The harmonic frequency ( $\omega_h$ ) of the  $O_3^-$  sym. stretch in aq. soln.,  $1058\text{ cm}^{-1}$ , is  $30\text{-}40\text{ cm}^{-1}$  higher, and the anharmonicity const. ( $\omega_h\chi_e$ ),  $9 \pm 2\text{ cm}^{-1}$ , about twice as large as compared to the  $O_3^-$  inbedded in cryst. matrixes or bonded to a counter ion. The  $O_3^- \rightarrow 2O + O^-$  dissociation energy is drastically lowered on hydration.

C.A. 1992, 116, N 14

$D_3^-$

1993

120: 117271b On the theoretical determination of the electron affinity of ozone. Gonzalez-Luque, Remedios; Merchan, Manuel; Borowski, Piotr; Roos, Bjoern O. (Dep. Quim. Fis., Univ. Valencia, Burjassot, Spain E-46100). *Theor. Chim. Acta* 1993, 86(6), 467-76 (Eng). Multiconfigurational, electron-correlation methods were analyzed in order to calc. theor. the electron affinity (EA) of ozone. The near-degeneracy correlation effects, which are so important in  $O_3$  and  $O_3^-$ , were described by using CAS-SCF wave functions. Remaining dynamic correlation effects were calcd. by using second-order perturbation theory (the CASPT2 method). The best calcd. adiabatic value (including zero-point energy corrections), 2.19 eV, is about 0.09 eV larger than the exptl. value. Comparative studies done by using size-consistent, coupled-pair-functional approaches (CPF and ACPF) were also done. The harmonic frequencies of  $O_3^-$  were detd. to be:  $\omega_1 = 992$ ,  $\omega_2 = 572$ , and  $\omega_3 = 879 \text{ cm}^{-1}$ , which gave a zero-point energy of 0.151 eV.

meas. pallin

(H)  $\otimes$

$O_3(Ae)$  meas. pallin

C.A. 1994, 120, N 10

O<sub>3</sub>

1993

Hildegard  
MUKAMORI  
COCMOH  
Te

119: 169367m The low lying electronic states of ozonide (O<sub>3</sub><sup>-</sup>). Koch, Wolfram; Frenking, Gernot; Steffen, G.; Reinen, D.; Jansen, M.; Assenmacher, W. (Inst. Org. Chem., Tech. Univ. Berlin, D-1000 Berlin, 12 Germany). *J. Chem. Phys.* 1993, 99(2), 1271-7 (Eng). The energies of the three lowest lying excited states of the ozonide anion ( $1^1\text{B}_2$ ,  $1^1\text{A}_1$ ,  $1^1\text{A}_2$ ) at the optimized geometry of the X  $^1\text{B}_1$  ground state are theor. predicted at the MRCI-SD level of theory using large at. natural basis sets. The calcd. vertical excitation energy  $T_v = 2.85$  eV for the  $1^1\text{A}_2 \leftarrow \text{X}^1\text{B}_1$  transition, which has a large transition moment, is in good agreement with the exptl. results for the isolated O<sub>3</sub><sup>-</sup> anion in host matrixes and soln. between 2.69-2.81 eV. The state symmetry forbidden transition  $1^1\text{B}_2 \leftarrow \text{X}^1\text{B}_1$  is calcd. with  $T_v = 2.26$  eV. The excitation energy for the  $1^1\text{A}_1 \leftarrow \text{X}^1\text{B}_1$  transition is theor. predicted with  $T_v = 2.28$  eV and a very low transition moment. The theor. results are also discussed in comparison with recently ob&sdot; low lying absorption bands of O<sub>3</sub><sup>-</sup>.

C.A. 1993, 119, N 16

$O_3^-$

1993

Zakharov I. I.,  
Kolbasina O. I. et al.

Синтез., Ж. Struct. Khim.

Свердловск., 1993, 34(2), 28-32.

мет. пасек

(cell.  $O_3^-$ ; III)

O<sub>3</sub><sup>-</sup>

1994

121: 118143u Study of low-lying electronic states of O<sub>3</sub><sup>-</sup>. Anion photoelectron spectroscopy of O<sub>3</sub><sup>-</sup>. Arnold, Don W.; Cangshan; Kim, Eun H.; Neumark, Daniel M. (Department of Chemistry, University of California, Berkeley, CA 94720 USA). *J. Chem. Phys.* 1994, 101(2), 912-22 (Eng). The low-lying electronic states of ozone are studied using anion photoelectron spectroscopy of O<sub>3</sub><sup>-</sup>. The spectra show photodetachment transitions from O<sub>3</sub><sup>-</sup> X <sup>1</sup>A<sub>1</sub> ground state and to the five lowest lying electronic states of the ozone mol., namely the <sup>3</sup>A<sub>2</sub>, <sup>3</sup>B<sub>2</sub>, <sup>1</sup>A<sub>2</sub>, <sup>3</sup>B<sub>1</sub>, and <sup>1</sup>B<sub>1</sub> states. The geometry of the ozonide anion detd. from a Franck-Condon analysis of the O<sub>3</sub>X <sup>1</sup>A<sub>1</sub> ground state spectrum agrees reasonably well with previous work. The excited state spectra are dominated by two vibrational progressions which, for some states, extend well above the dissociation asymptote without noticeable lifetime broadening effects. Preliminary assignments are based upon photoelectron energy distributions and comparison with ab initio calcs. None of the excited states obsd. lies below the ground state dissociation limit of O<sub>3</sub> suggested by previous exptl. and theor. results.

C.A. 1994, 121, n10

O<sub>3</sub><sup>-</sup>

1995

† 5 Б134. Озонидный анион. Теоретическое исследование.  
The ozonide anion: A theoretical study / Borowski Piotr,  
Roos Björn O., Racine Stephen C., Lee Timothy J., Carter  
Stuart // J. Chem. Phys. — 1995. — 103, № 1. — С.  
266—273. — Англ.

Неэмпирическим методом ССП МО ЛКАО в полном  
активном пространстве с учетом электронной корреляции  
во втором порядке теории возмущений и методом КВ  
исследовано электронное строение O<sub>3</sub><sup>-</sup> (I) и комплекса  
Li<sup>+</sup>O<sub>3</sub><sup>-</sup>. Длина связи и валентный угол I оценены в  
1,361 Å и 115,4°, колебательные частоты — 989, 556 и  
870 см<sup>-1</sup>, что очень хорошо согласуется с эксперим.  
данными. Обсуждено влияние катиона на колебательные  
частоты. Показано, что матрицы (азот, аргон, неон) мало  
влияют на ИК-спектр I. Библ. 40.

X. 1996, N 5

0738174

1995

123: 68936y The ozonide anion: a theoretical study. Borowski, Piotr; Roos, Bjoern O.; Racine, Stephen C.; Lee, Timothy J.; Carter, Stuart (Chem. Cent., Theoretical Chem., S-221 00 Lund, Swed.). *J. Chem. Phys.* 1995, 103(1), 266-73 (Eng). Complete active space SCF (CASSCF) and CASSCF second-order perturbation theory (CASPT2) methods have been used for the geometry optimization and calcn. of harmonic and fundamental frequencies of the ozonide ion ( $O_3^-$ ) and the ozonide lithium complex ( $Li^+O_3^-$ ). For  $O_3^-$  harmonic frequencies have also been obtained using the coupled-cluster method, CCSD(T). IR intensities are computed from dipole moment derivs. at the CASSCF level. The predicted equil. geometry for  $O_3^-$  is  $R_{OO} = 1.361 \text{ \AA}$  and  $\angle_{OOO} = 115.4^\circ$ , and the fundamental frequencies are  $\nu_1 = 989 \text{ cm}^{-1}$ ,  $\nu_2 = 556 \text{ cm}^{-1}$ ,  $\nu_3 = 870 \text{ cm}^{-1}$  [exptl. values are  $R_{OO} = 1.36 \pm 0.02 \text{ \AA}$ ,  $\angle_{OOO} = 111.8 \pm 2.0^\circ$ ,  $\nu_1 = 975(50) \text{ cm}^{-1}$ ,  $\nu_2 = 550(50) \text{ cm}^{-1}$ ,  $\nu_3 = 880(50) \text{ cm}^{-1}$ ]. Corresponding data for the lithium ozonide complex have also been obtained. The presented data contradict the previous interpretation of the IR and Raman spectrum obtained after codeposition of ozone and alkali atoms in  $N_2$ , argon, or neon matrixes. The presence of the lithium cation raises the asym. stretch frequency to about  $940 \text{ cm}^{-1}$ , which is contradictory to assumptions made in the assignments of the matrix spectra. Calcns. made in a dielec. medium strongly suggest that the effect of the matrix on the IR spectrum is small for  $O_3^-$  itself. The dissocn. and atomization energies of  $O_3^-$  are found to be in agreement with expt.

(Pi, 1e, f)

C.A. 1995, 123, N6

Дн. 38174

1995

F: ОЗ-

P: 3

5Б134. Озонидный анион. Теоретическое исследование. The ozonide anion: A theoretical study / Borowski Piotr, Roos Bjorn O., Racine Stephen C., Lee Timothy J., Carter Stuart // J. Chem. Phys. - 1995. - 103, N 1. С. 266-273. - Англ.

эмпирическим методом ССП МО ЛКАО в полном активном пространстве с учетом электронной корреляции во втором порядке теории возмущений и методом КВ исследовано электронное строение  $O\{-\}[3]$  (I) и комплекса  $Li^+O\{-\}[3]$ . Длина связи и валентный угол I оценены в 1,361 Å и 115,4°, колебательные частоты - 989, 556 и 870 см<sup>-1</sup>, что очень хорошо согласуется с эксперим. данными. Обсуждено влияние катиона на колебательные частоты. Показано, что матрицы (азот, аргон, неон) мало влияют на ИК-спектр I. Библ. 40.

Р. 44. X. N 5, 1996

$O_3^-$

(Om 38248)

1995

Tsuneda T., Nakano H.,  
et al.,

J. Chem. Phys., 1995,  
103 (15), 6520....

Study of low  - lying electro-

NIC states of ozone by  
multi reference Moller-Plesset  
perturbation method.

O<sub>3</sub>

1996

125: 287535m Matrix isolation study of the interaction of excited neon atoms with O<sub>3</sub>. Infrared spectrum of O<sub>3</sub><sup>-</sup> and evidence for the stabilization of O<sub>2</sub>...O<sub>4</sub><sup>+</sup>. Lugez, Catherine L.; Thompson, Warren E.; Jacox, Marilyn E. (Molecular Physics Div., Natl. Inst. Stds. Technology, Gaithersburg, MD 20899 USA). *J. Chem. Phys.* 1996, 105(6), 2153-2160 (Eng). When a Ne:O<sub>3</sub> sample is codeposited at -5 K with Ne atoms that were excited in a microwave discharge, the most prominent IR absorptions of the resulting solid are contributed by trans- and cyclo-O<sub>4</sub><sup>+</sup> and by O<sub>3</sub><sup>-</sup>. The failure to detect IR absorptions of O<sub>3</sub><sup>+</sup> is consistent with the initial formation of that species in  $\geq 1$  dissociative excited states. The  $\nu_3$  absorption of O<sub>3</sub><sup>-</sup> appears at 796.3 cm<sup>-1</sup>, close to its position in earlier Ar-matrix expts. in which photoionization of an alkali metal atom provided the electron source and in which diffusion of the at. cation would result in the stabilization of appreciable M<sup>+</sup>O<sub>3</sub><sup>-</sup>. The identification of O<sub>3</sub><sup>-</sup> isolated in solid Ne is supported by observations of O<sub>3</sub><sup>-</sup> generated from isotopically substituted Ne:O<sub>3</sub>:N<sub>2</sub>O samples, also codeposited with excited Ne atoms. An upper bound of 810 cm<sup>-1</sup> is estd. for

the gas-phase band center of  $\nu_3$  of O<sub>3</sub><sup>-</sup>. IR absorptions which grow on mild warmup of the sample are tentatively assigned to an O<sub>2</sub>...O<sub>4</sub><sup>+</sup> complex.

UK CREAM  
MANUSCRIPT

C.A.1996, 125, N22